

III-57 粘土のせん断強度の異方向性について

京都大学防災研究所 正員 柴田 徹

正規圧密状態にある粘土地盤では、静止土圧係数 K_0 の値は 0.5 梱度であるといわれてゐる。このように異方向圧密を受けた粘土地盤中で、図-1 に示すように水平と鉛直方向のせん断強さ T_H , T_V を測定すると、それらは互いに等しくならないことが原位置ベーン試験結果などから推定されている。飽和粘土の含水比は圧密最大主応力 $\sigma_{1c} = \sigma_v$ の大きさによって支配される場合が多いので、図-1 に示した土の各要素は σ_{1c} が共通で、せん断前の含水比がほぼ等しいにも拘らず T_H と T_V とをさう原因の一つは、それぞれのせん断面上に働く垂直接応力 σ_v , $\sigma_H (= K_0 \sigma_v)$ の相違によるものと考えられる。

ここでは三軸ベーンせん断試験機を用いて、各種応力条件のもとで圧密した粘土試料について、 T_H と T_V を測定した結果を述べ、さらには S_u/p -比（ただし S_u ：非排水せん断強さ, $p = \sigma_v = \sigma_{1c}$ ）の意味を考察する。

試験装置、試料、解析方針

三軸ベーン試験機は図-2 に概略を描くよし、 K 、三軸応力状態下の粘土試料についてベーンせん断強さを測定するもので、その紹介は文献1)を詳しい。この報告では表-1 に示す二種類の粘土に限定しているが、その他数種類の粘土を用いて、結論の妥当性を検討したものである。またベーンせん断強さ T_H , T_V は Cadling の式より導かれる次式によつて求めた。

$$\frac{2M}{\pi D^2 H} \frac{1}{\sigma_{1c}} = \frac{T_V}{\sigma_{1c}} + \alpha \cdot \frac{D}{H} \cdot \frac{T_H}{\sigma_{1c}} \quad \dots \dots (1)$$

ここで M ：ベーンで測定される最大モーメント, D, H ：ベーンの直径、高さ, α ：ベーン端面におけるせん断応力分布形よりきまる係数である。

なお σ_v で等方向圧密した試料を用いたベーンせん断強さ T_{max}/σ_v は、走査直接せん断試験による T_{max}/σ'_v （ただし σ'_v はせん断面への垂直有効応力）に殆んど一致することが判明してゐる（詳細は別の機会に報告予定）ので、以下に述べるせん断強さは走査試験によるものと解釈して差し支えない。

水平方向せん断強さ T_H

ベーン寸法すなわち D/H を各種に変えた試験結果を、式(1)の左辺 $\propto D/H$ の関係にプロットすれば、 α の直線の傾斜として $\alpha \cdot T_H/\sigma_{1c}$ がえられる筈である。その例は圧密応力比 $K = \sigma_{3c}/\sigma_{1c}$ をパラメータとして示した図-3 より判る如く、これらの直線が互いに平行となること、および α は常数と考えられる。

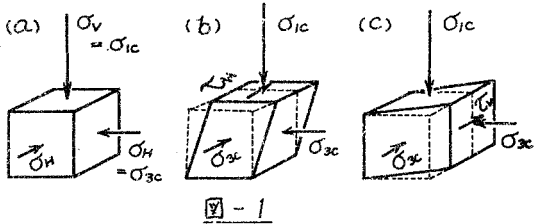


図-1

表-1

番号	名 称	$wf\%$	$T_p\%$	$<2\mu\%$
No.1	カオリン	61.6	27.3	88
No.2	乱さないオストロ粘土	28.7-36.2	7.8-14.3	42

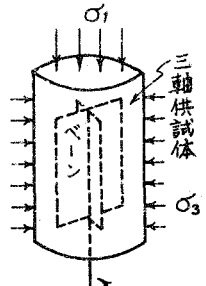


図-2

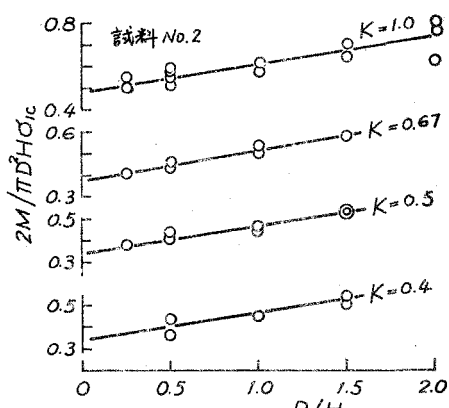


図-3 (ベーン貫入による圧密を許した試験結果)

ことから、 T_H/σ_{ic} は K とは無関係に一定値をとることのみである。すなわち T_H に関する式は、図-1(a)に描いたように σ_{ic} が中间主应力となるので、 T_H は σ_{ic} の影響を受けず σ_{ic} によってきまることがわかる。

鉛直方向せん断強さ C_v および T_v/T_H -比

図-3のよどを整理すれば、縦軸との切片長 C_v/σ_{ic} として T_v/σ_{ic} がえられるので、この方法で求めた T_v と、その面への垂直応力 σ_{ic} との関係を調べる。図-4は σ_{ic} と K を種々に変えた試験結果をまとめてあるが、試料No.1では σ_{ic} の大きさによつて異なる直線上にプロットされるが、

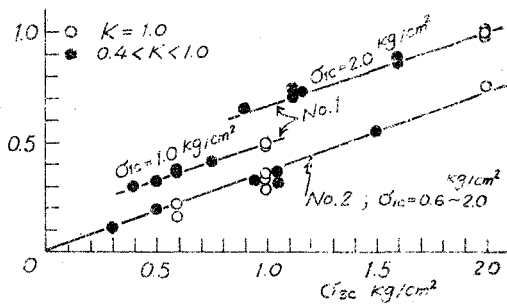


図-4

No.2では σ_{ic}, K とは無関係に原点を通る直線上にある。前述したように σ_{ic} が零なれば試料の含水比も零なるとみられるが、 $T_v \sim \sigma_{ic}$ の一義的関係がえられる。No.2のように PI が低く、Hvorstevのパラメータ $K=0$ の粘土では、粘着成分は小さいせん断ヒズミで消滅し、摩擦成分のみが T_v に寄与することを暗示している。

つぎに図-4ともとにして、せん断強さの異方向性 T_v/T_H を求め。 K との対応をみると図-5に示すようだ、 $K=1$ で $T_v/T_H=1$ を端点として、 K の減少とともに T_v/T_H は直線的に減少する。さらには PI が高い粘土から低いものへと推移するとつれて図-5の直線の傾斜が増加すること(No.2では $T_v/T_H=K$)、おういり K_0 が減少する事実より、正規圧密粘土地盤中のせん断強さの異方向性は PI が低いものほど顕著に発揮されると推定される。

ベーン試験による S_u/p -比 原位置ベーン試験より S_u/p を算出するには、式(1)において $T_H=T_v$ 、かつ $\alpha=1/3$ とおいて導かれる式が慣用されているが、前述のごとく $K=1$ の場合を除いては $T_H=T_v$ なる仮定は正しくない。そこでこのよどを慣用法で求める S_u/p の内容を T_v, T_H を用いて表すことに

そして通常のベーン寸法 $D/H=0.5$ の場合には

$$\frac{S_u}{p} = \frac{S_u}{\sigma_{ic}} = \frac{1}{(1 + \frac{1}{3} \frac{D}{H})} \left(\frac{T_v}{\sigma_{ic}} + \frac{1}{3} \frac{D}{H} \frac{T_H}{\sigma_{ic}} \right) \quad (2a)$$

$$\frac{S_u}{p} = \frac{T_v}{\sigma_{ic}} \quad (2b)$$

式(2b)の近似によつて S_u/p に生じる誤差は 0.04 以下であるので、正規圧密造成粘土の $S_u/p \sim PI$ 関係と $T_v/\sigma_{ic} \sim PI$ 関係を表わすものと解釈してよい。そして T_v/σ_{ic} は一般に K によって変化するので S_u/p もまた K の影響を受ける。図-6に示すように K の減少とともに低下する。しかし原位置試験の S_u/p は K_0 に対する値であるため、Skempton-Bjerrum 曲線におけるように、 PI が低いと三軸圧縮試験の S_u/p に比較して非常に小さく測定されるものと筆者は考える。

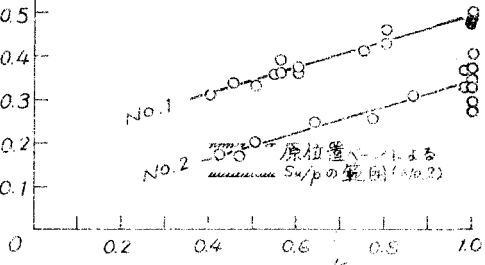


図-6

1) Kenney, T.C. and A. Landrau; Instrucional apparatus, Proc. 6th I.C.S.M.F.E., vol 1, 1965, p. 269.